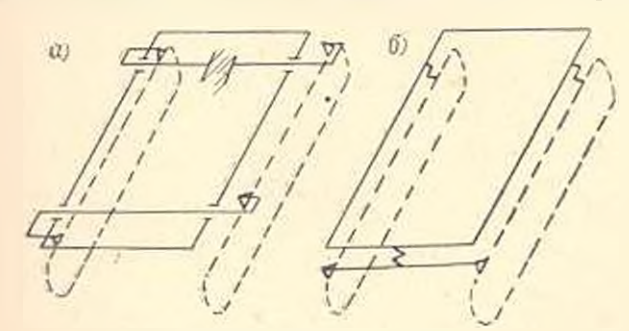
машиностроение

В Г. ДОЧКИН, Э. Б. ЗАХАРЯН, Р. В. СИРЕКАНЯН, М. М. ХАРААП, Р. В. ШАХБАЗЯН

НЕКОТОРЫЕ ОСОБЕННОСТИ ДИНАМИКИ ГУСЕНИЧНОЙ МАШИНЫ ПРИ РАБОТЕ НА СКЛОНАХ

В эксилуатационных условиях работы гусеничная машина находится под воздействием непрерыпно меняющихся нагрузок [1], обусловленных многочисленными факторами, к числу которых осносятся: микропрофиль дороги, неоднородность физико-механических свойств почвы, изменение скорости движения машины от наезда на неропности почвы и др. При движении машины по склону к указанным факторам, прибавляются перераспределение масс и силы, действующие ндоль склона.

Рассмотрим динамику движения гусеничной машины на склоне и учитывая подрессоривание последией, исследуем особенности колебательного процесса. Для примера рассмотрим трактор Т—54 "В" и примем, что движущийся по склону трактор не имеет поступательного движения, но совершает колебания по тому закону и интенсинности, если бы наблюдалось его поступательное движение поперек склона. Как известно [2], схема подрессоривания у Т—54 "В" симметрична и может быть приведена к опертой на три точки массе (рис. 1) с балан-



Рмс. 1. а-схема подрессоринация трактора Т-51 "В", в-приведения схема подрессоривания.

сирной схемой подвеса. Однако, находясь на склоне, трактор меняет схему подрессоривания (рис. 2) и в целом подвеска становится асимшетричной, причем, асимметричность увеличивается с увеличением склона.

Учитывая, что при движении остов машины в основном соверша-

ет линейно-нертикальные, поперечно-углоные и продольно-угловые колебания (рис. 3), соответственно выбираем обобщенными координатами: z—пертикально-линейные смещения, ½—продольно-угловые смещения.

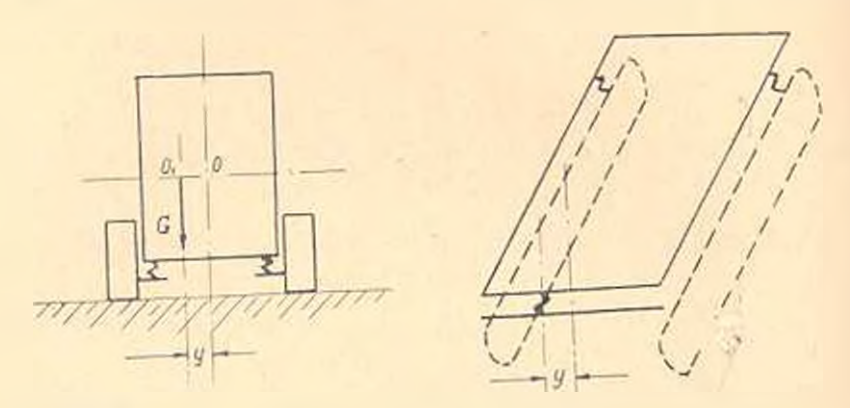
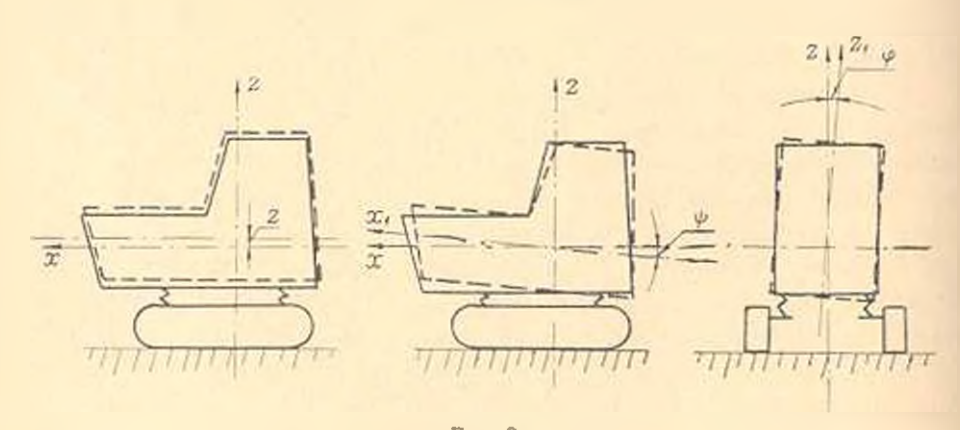
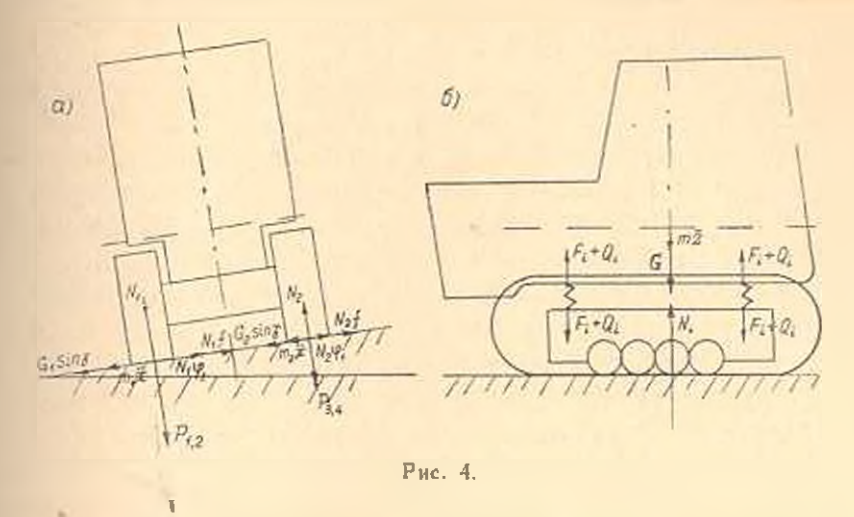


Рис. 2. Схема подвески, меняющаяся при дижении машивы по склону (асимметричность $y = h \lg_{i+1}^{i+1}$),



Ряс. 3.

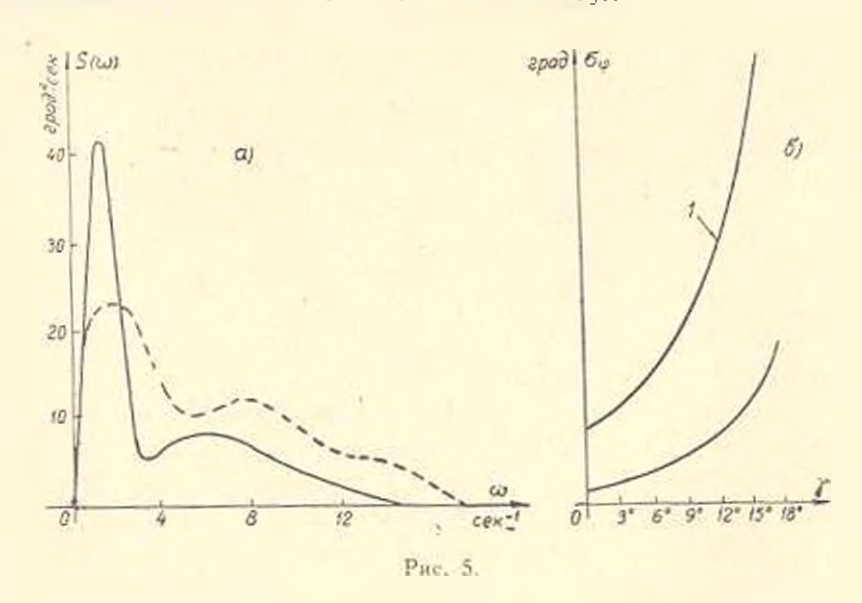
топоеречно-угловые смещения. Примем также, что ходовая часть (тележки) испытывает вертикальные смещения 2. и (левая и правая сторона) и поворот относительно их центров тяжестей на угол и $\frac{1}{2}$. Рассматривая малые смещения тележек, можно составить схему сил, действующих в целом на трактор (рис. 4). На остов действуют: силы инерции m_2 $I_{x,2}$, I_y с, упругие силы рессор F_i и силы сопротивления Q_i . На тележку действует та же силя упругости F_i , силы сопротивлений G_i , составляющая от веса $G\sin \gamma$, реакция почны N_i , силы, создающие сползание машины, $m_{ij}x$. реакция почны на составляющую от веса N_i и силы трения, препятствующие этому сползанию, fN_i (где f и z_i — соответственно коэффициент трения и коэффициент сцепления, принимаемые постоянными). Проектируя силы, действующие на остов, на ось z и составляя уравнение моментов от-



носительно продольной и поперечной осей, проходящих через центр тяжести остова, получим дифференциальное уравнение колебаний машины при движении по склону с углом , в виде:

где $a_{1,0}, a_{1,1}, \cdots, L_{3,10}, L_{1,1}$ — квазнупругие и инерционные коэффициенты.

Как видно из полученной системы, исе виды колебаний взаимосияваны и при симметричной подвеске $(a_{2,1}-a_{2,2}=b_{1,1}-b_{1,2}=0)$ связь аняейно-вертикальных и продольно-угловых колебаний исчезает. Рассматривая уравнения при движении машины на ровной местности (= 0), система распадвется на три автономных уравнения, описываюцих каждый из видов колебательного процесса. Исследуя полученную систему уравнений на устойчивость по Гурвицу, можно видеть, что с увеличением угла склона 7 система в целом теряет устойчивость, а каждый из видок колебательного процесса меняется: продольно-угловые колебания имеют тенденцию к уменьшению, а вертикально-линейные и поперечно-углоные возрастают, причем, поперечные колебания возрастают в кнадратичной записимости. При " 10 основной вид колебаний-поперечно-угловые, так что при расчетах на плавность хода нашины этот факт необходимо учитывать и наряду с оценкой плавиости по вертикально-липейным колебаниям [2] оценивать также и по поперечно-угловым колебаниям. При эксплуатации трактора (разнообразные сельскохозяйственные работы, тяга на крюке и пр.) в целом уравнения своего вида не теряют, меняются лишь значения коаффициентов, куда входят величины силы тяги, дополнительные массы (от навеса сельскохозяйственных орудий) и др. Изменение скорости движения трактора ведет к увеличению амплитуды и частоты пходных величин и к соответственному изменению колебаний трактора. Влияние склона в этом случае довольно ощутимо; к примеру, при движении на склоне в 12 при скорости движения 8 10 км, час наблюдаются частые пробинания подрески (8 10 раз на 50 метров гона), а при склоне б на той же скорости число пробинаний в 2,5 3 раза уменьшается. Анализ кореляционных функций и спектральных плотностей вертикальных ускорений центра тяжести остова при движении в транспортном режиме на разных склонах показывает, что с увеличением склона в спектрах колебаний нозникают повые частоты (8-10 гд), в то время, как : и движении на ровной местности, с той же скоростью, основной спектр лежит в области нижних частот (5 - 6 гд). С изменением схемы подрессоривания (от воздействия склона) меняются парциальные частоты и нижняя (нагруженная сторона) становится высокочастотным фильтром, а верхняя к склону сторона (разгруженный борт) - низкочастотным фильтром, что сказывается на максимальном значении амплитуд.



На рис. 5 показана спектральная плотность поперечно-угловых колебаний при движении трактора по склону 9 и ровной местности. При скорости лвижения 2,5 м сек кривые спектральных плоскостей являются лвухпершинными, где одна вершина обусловлена максимальным значением спектра воздействия, а иторая - максимальным значением амплитудно-частотной характеристики. Из рис. 5 видно, что при движении по склону спектральная плотность амплитул резко возрастает, причем. этот рост обусловлен изменением амплитулно-частотной характерием.

теристики системы. При дальнейшем возрастании скорости (до 4,5 м сек) и склона (γ = 15) увеличение амплитуды спектральной плотности может до 30 раз превышать амплитуды спектральной плотности поперечных колебаний при движении на ровной местности. Поскольку площадь под криной $S(\omega)$ неегда равна дисперсии $D(\phi)$, то можно видеть (рис. 5, a), что при движении по склону дисперсия поперечно-угловых колебаний возрастает, и при одной и той же скорости (2,5 м сек) с увеличением склона зависимость дисперсии от склона принимает вид нараболы. На рис. 5, δ приведена записимость средне-квадратичного отклонения τ от склона τ Зависимость дисперсии от склона имеет более крутой вид (кривая t), поскольку τ = $D(\phi)$.

Подрессоренный кузов гусеничной машины можно рассматривать как линейную динамическую систему автоматического регулирования, находящуюся под воздежствием стационарного случайного возмущения $[z_1(t); z_1(t); z_2(t)]$, где представия их в виде спектра, состоящего из бесконечно большого числа гармоник, можно, используя известное свойство передаточной функции $S_{\text{втах}}(\omega) = |W(w)| S_{\text{втх}}(\omega)$, определять значение выходных возмущающих воздействий.

Рассмотрим схему сил, действующих на ходовую часть, и спроектируем их на ось х. Вводя обозначения и преобразуя, получим дифференциальное уравнение, описывающее процесс сползания и функции от колебаний машины:

$$K_0 x = a_0 z + a_{0,1} z - b_0 \psi + b_{0,1} \psi - c_0 \psi + c_{0,1} \psi - T_{1,0} z_1 + T_{1,0} z_2 - T_{1,1} z_2 + L_{1,1} \psi_1 - L_{1,0} \psi_2 + L_{1,1} \psi_1 - L_{1,0} \psi_2,$$

$$(2)$$

здесь значения коаффициентов имеют следующий смысл:

$$K_0 = rac{m}{(f + \gamma)\cos\gamma}; \quad a_0 = eta_1 + 2eta_2; \quad a_{0,1} = c_1 + 2c_2; \quad b_0 + 2eta_2 l_1 + 4l_1,$$
 $b_{0,1} = 2c_2 l_2 - c_1 l_1, \quad c_0 = 2eta_2 h ext{tg} \gamma; \quad c_{0,1} = 2c_2 h ext{tg} \gamma; \quad T_{1,0} = rac{2\beta_2 - \beta_1 (1 - k)}{2};$ $T_{1,0} = rac{2\beta_2 - \beta_1 (1 - k)}{2};$ $T_{1,0} = rac{2c_2 - c_1 (1 - k)}{2};$ $T_{1,0} = rac{2c_2 - c_1 (1 - k)}{2};$ $T_{1,0} = rac{2c_2 - c_1 (1 - k)}{2};$ $T_{1,0} = rac{2\beta_2 l_2 - \beta_1 l_1 (1 - k)}{2};$ $T_{1,0} = rac{2\beta_2 l_2 - \beta_1 l_1 (1 - k)}{2};$ $T_{1,0} = rac{2\beta_2 l_2 - \beta_1 l_1 (1 - k)}{2};$

$$L_{\rm L,1} = \frac{2c_2l_2^2 - c_1l_2^2(1-k)}{2} \, ; \quad L_{\rm L,10} = \frac{2c_2l_2 - c_1l_2^2(1-k)}{2} \, . \label{eq:L11}$$

где $K = \frac{18.7}{18.7c^2}$: γ текущий угол склона; γ_{cr} статический угол опрокидывания машины;

 c_1, c_2, p_1, p_2 приведенные к оси крепления рессор с остоиом жесткости и коэффициенты демпфирования подвески трактора;

 $l_1, l_2, l_3 = 0$ ноординаты центров тяжестей остова и тележек относительно креплений рессор;

h, m - нысота центра тяжести и масса трактора.

Как видно из полученного уравнения, колебательный процесс по-разному действует на сползание. Это можно заметить, если предположить, что возмущающие функции меняются по гармоническому закону. В этом случае из системы (1) можно получить, что вынужденные колебания представляют собой также гармони скую функцию той же частоты, но сдвинутую по фазе на угол с. Поскольку в патурных условиях при движении машины по склопу спектр частот растянут до 10 гд, то фазовый угол для данной колебательной системы может доходить до 20, что способствует сползанию. Учитывая, что с увеличением склона поперечно-угловые колебания возрастают, рассмотрим нлияние поперечно-угловых колебаний на процесс сползания. Для этого примем, что остальные возмущения ранны нулю. Примем также, что закон изменения поперечно-угловых колебаний -гармонический. Записывая уравнение (2) п операторном виде, имеем:

$$(K_0P^2) \times (t) = (Pc_0 - c_{0.1}) \circ (t). \tag{3}$$

При гармоническом воздействии $\varphi(t) = He^{-|t|}$ частным решением будет:

$$x(t) = HW_{\parallel}(i\omega) e^{i\omega t}$$

Подставлян в выражение (3) и преобразуя, определим амилитудно-фавочастотную характеристику (рис. 6):

$$W_{+}(i\omega) = -\frac{2c_{1}h \log \tau}{\omega^{2}K_{3}} - i\frac{2\beta_{1}h \log \tau}{\omega K_{3}}, \tag{4}$$

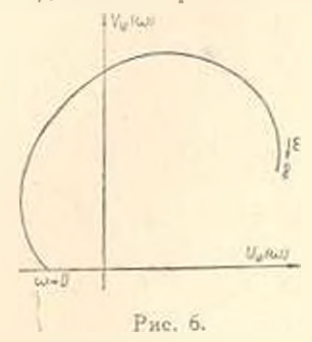
где $U_{*}(\omega) = -\frac{2c_{\circ}h \text{ ty } \gamma}{\omega^{2}K_{0}}$ — вещественная частотная характеристика;

$${\cal V}_{\rm e}(\omega) = - rac{2 p_{
m g} \ln \log n}{2 n_{
m g}} \, i - \infty$$
нимая частотная характеристика.

Из выражения (4) видно, что с унеличением угла склона $|W_{-}(i|^{-b})|$ возрастает. Поскольку модуль фазочастотной характеристики есть относительная амилитуда вынужденных колебаний, а при увеличении склона последняя возрастает, то влияние поперечных колебаний на процесс сползания очевидно.

Особенно интенсивно происходит сползание машин со склона, когда колебательный процесс близок к резонансной зоне; при этом для

трактора T = 54B (0.9 - 1.1m) скорость сползания достигает до $0.02 \, \text{м/сек}$. Необходимо указать, что при парциальном резонансе для кормы и носа трактора, и зависимости от того, где наблюдается возникновение резонанса (нос или корма), эта сторона испытывает более сильное



оползание. Кроме указанных в работе особенностей динамики гусеничной машины, при работе на склоне необходимо также указать на устойнивость фактор, имеющий первостепенное значение, исследование которого представляет собой отдельную работу.

Приведенные выше результаты получены, как уже говорилось. для трактора Т 54 В, однако могут быть применимы к любому мобильному транспорту, работающему на склоне.

ЮНИИС- НАГИ

Поступило в. V.1970.

վ, Գ. Գոցելու, Է. Բ. ԶԱԺԱՐՅԱՆ, Ռ. վ. ՍԻՐԵԿԱՆՅԱՆ, Մ. Մ. ԽԱՐԼԱՊ, Ռ. վ. ՇԱՀՐԱԶՅԱՆ

ԹՐԻՈՒՐԱՎՈՐ ՄԵՔԵՆԱՅԻ ԴԻՆԱՄԻԿԱՅԻ ՈՐՈՇ ԱՌԱՆՉՆԱՀԱՏԿՈՒ-ԹՅՈՒՆՆԵՐԸ ԱՄԱԶԻ ՎՐԱ ԱՇԽԱՏԵՐՍ

Ամփոփում

ըննարկվում են քրքուրավոր մերենայի դինամիկայի որոշ աանձնահատկությունները քեր լանջի վրա աշխատելիս։ Հիմնական տարրերիչ առանձնահատկությունն է ննքաղապանավորման սխեմայի փոփոխությունը և մերենայի սոզման առաջ գալը։ Ուսումնասիրված է մերենայի տատանումների անտխությունների ամպլիտուգայի սպեկտրը և բացահայտված է տատաամների ինաննարկության փոփոխման կախումը լանջի թերությունից։

JIHTEPATYPA

- 1. Силови А. А. Спектральной теприи подрессоривания транспортных машин, М., 1963.
- Дочкин В. Г., Сафронов А. И. и др. Устройства и яксплуатация гранторов Т—50В и Т—54В. М., 1963.